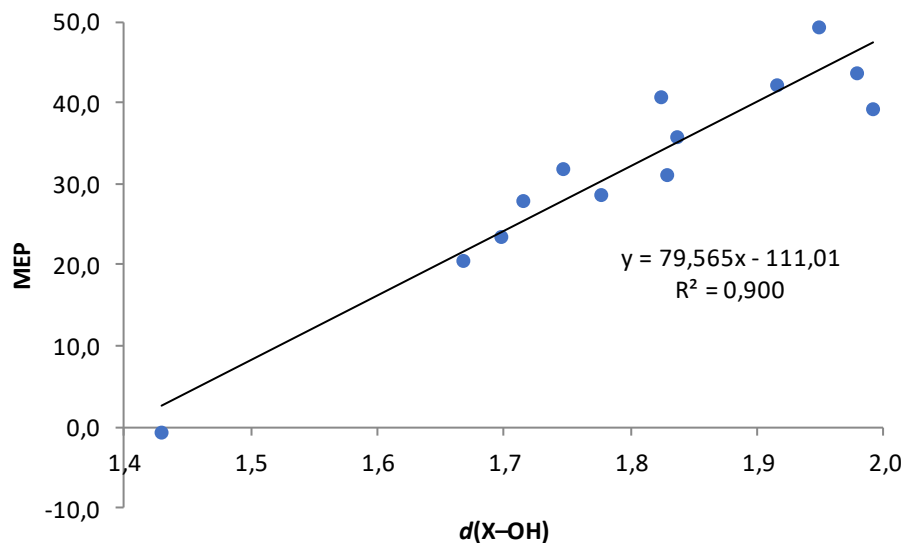
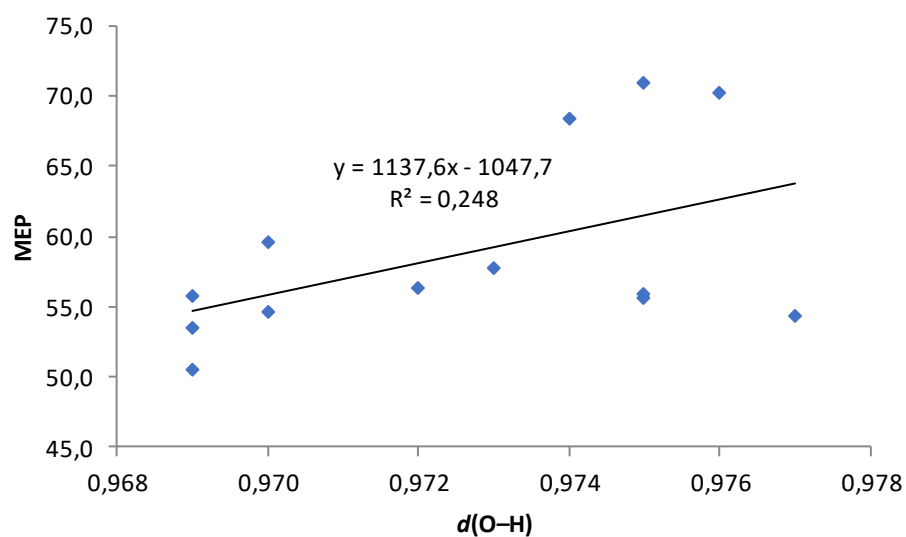


# Supplementary Materials: Hydrogen Bond versus Halogen Bond in $\text{HXO}_n$ ( $\text{X} = \text{F}, \text{Cl}, \text{Br}$ , and $\text{I}$ ) Complexes with Lewis Bases

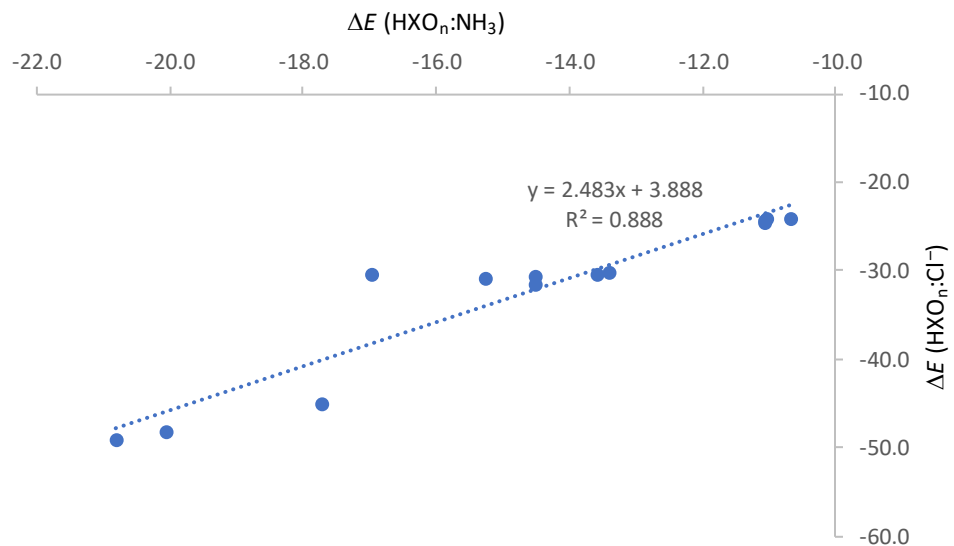
David Quiñonero \* and Antonio Frontera



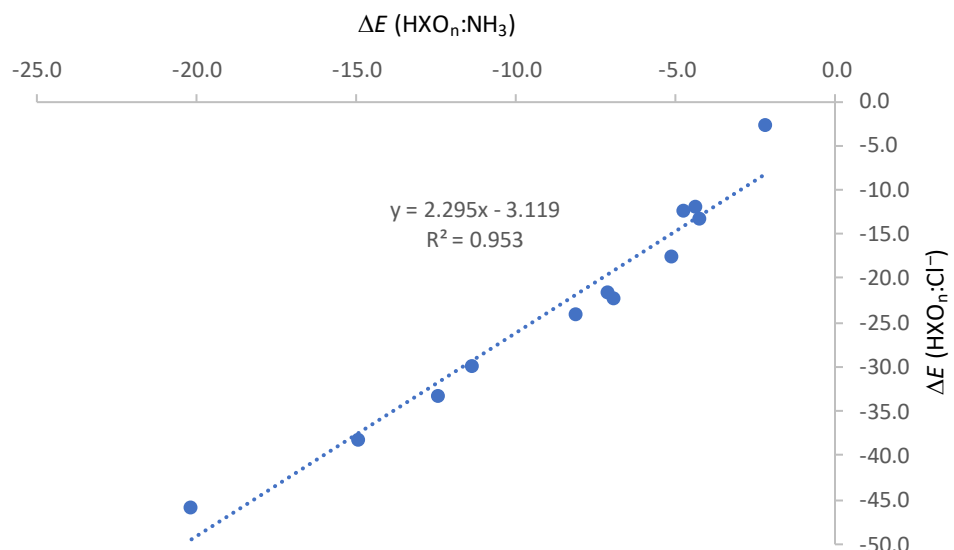
**Figure S1.** Graphical representation of  $d(\text{X}-\text{OH})$  (in  $\text{\AA}$ ) versus XB MEP (in kcal/mol) in halogen oxoacids.



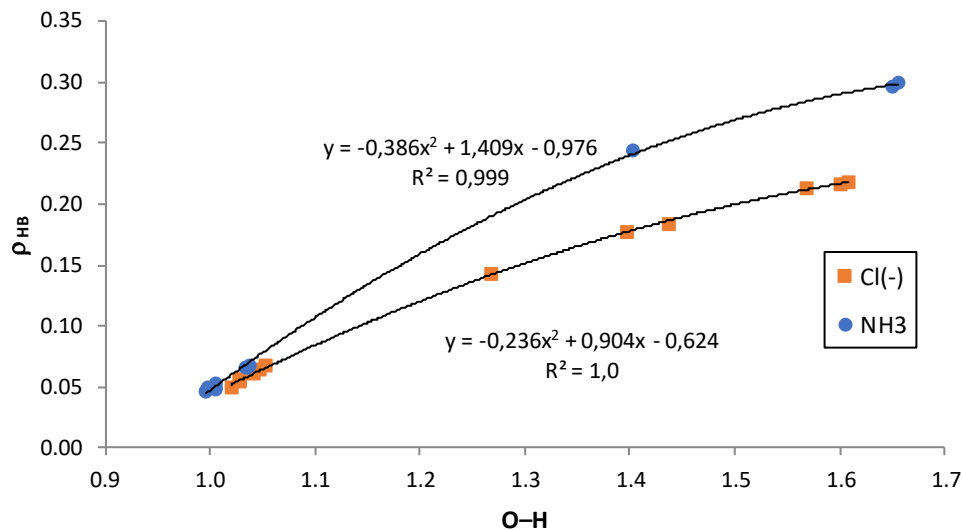
**Figure S2.** Graphical representation of  $d(\text{O}-\text{H})$  (in  $\text{\AA}$ ) versus HB MEP (in kcal/mol) in halogen oxoacids.



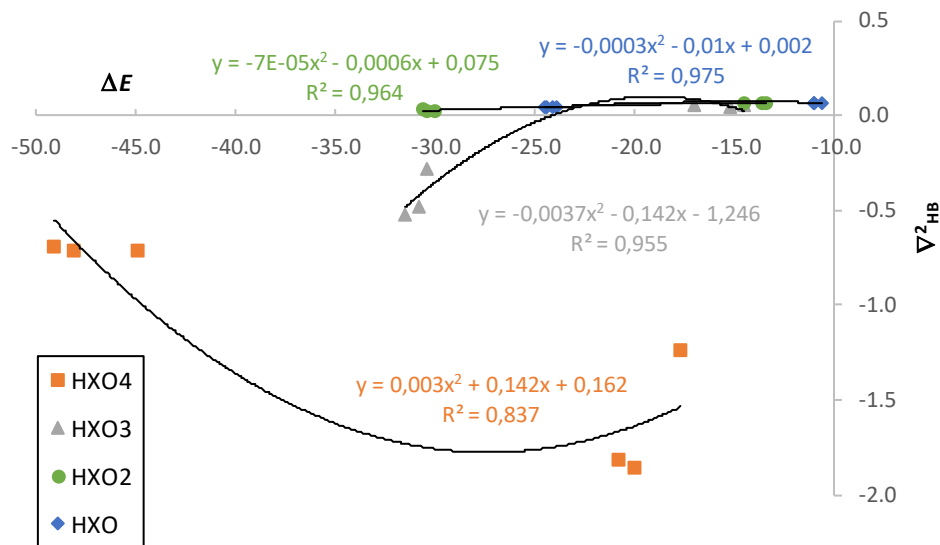
**Figure S3.** Graphical representation of interaction energies of HB HXO<sub>n</sub>:NH<sub>3</sub> versus HB HXO<sub>n</sub>:Cl<sup>-</sup> (in kcal·mol<sup>-1</sup>).



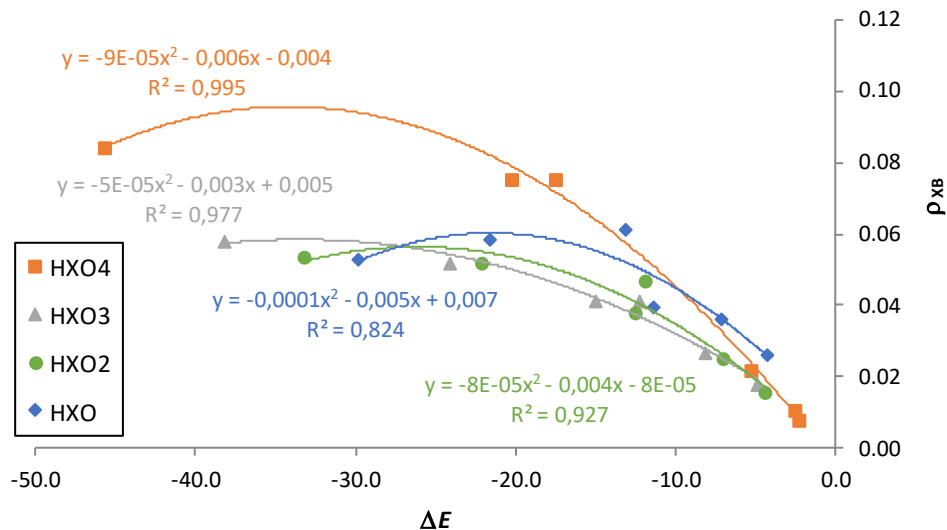
**Figure S4.** Graphical representation of interaction energies of XB HXO<sub>n</sub>:NH<sub>3</sub> versus XB HXO<sub>n</sub>:Cl<sup>-</sup> (in kcal·mol<sup>-1</sup>).



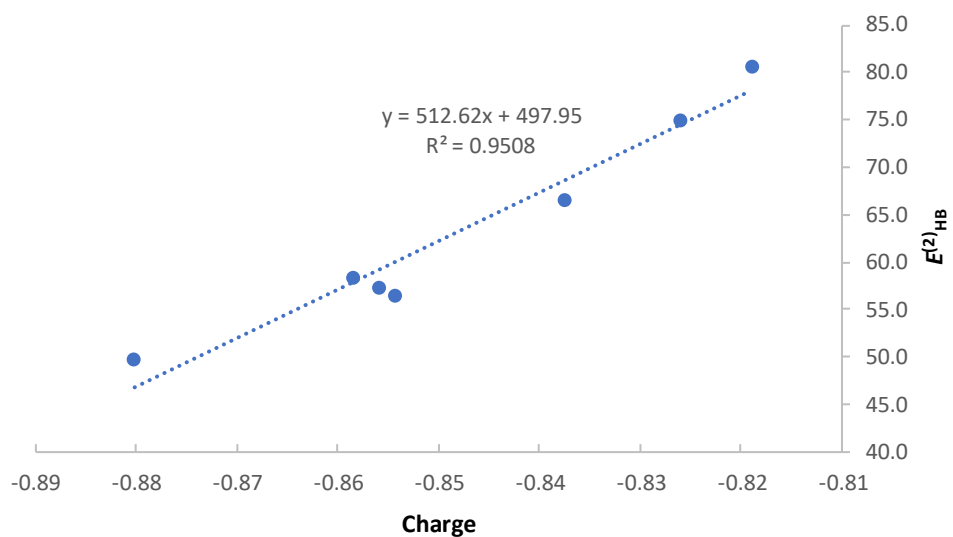
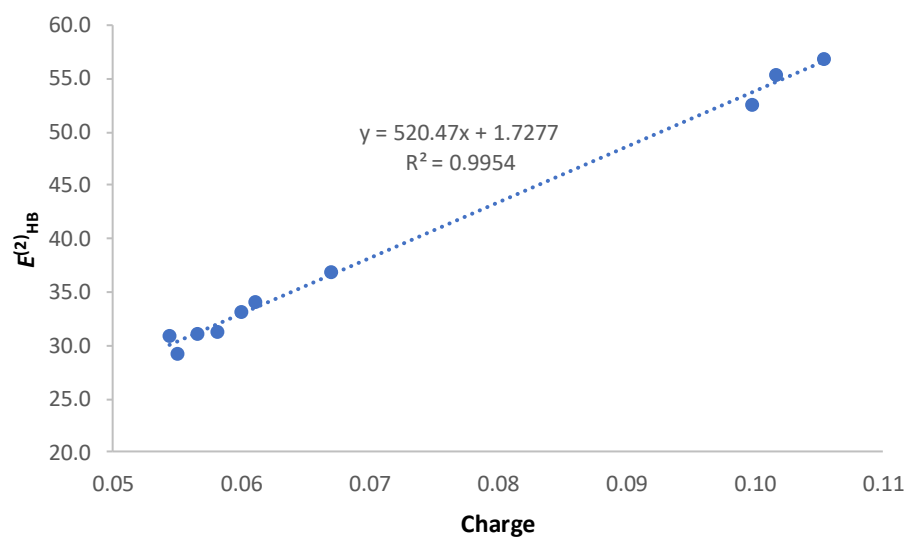
**Figure S5.** Second-order polynomial relationship between the O–H distance (in Å) and the electron density for HB,  $\rho_{\text{HB}}$ , complexes.



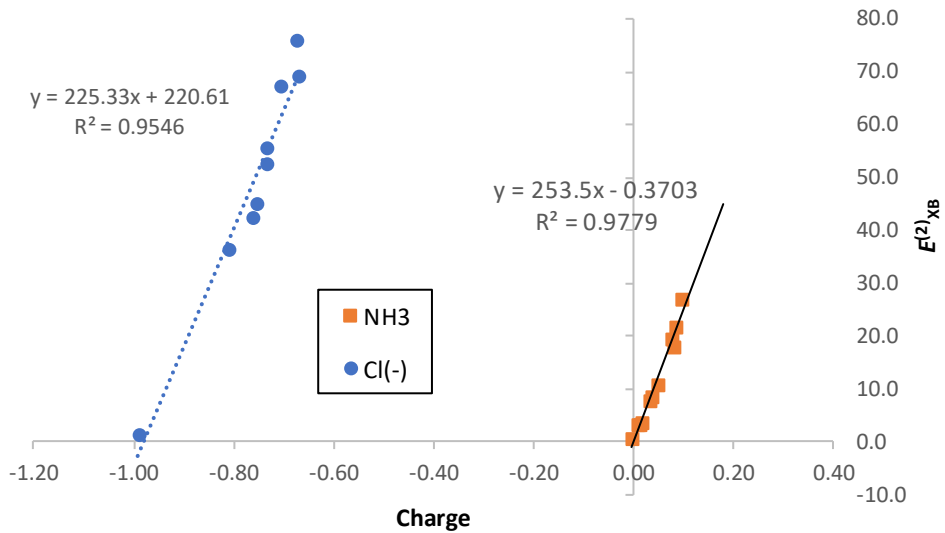
**Figure S6.** Second-order polynomial relationship between the interaction energy,  $\Delta E$ , (in kcal·mol<sup>-1</sup>) and the Laplacian of the electron density for HB,  $\nabla^2\rho_{\text{HB}}$ , complexes.



**Figure S7.** Second-order polynomial relationship between the interaction energy,  $\Delta E$ , (in  $\text{kcal}\cdot\text{mol}^{-1}$ ) and the electron density for HB,  $\rho_{HB}$ , complexes.



**Figure S8.** Value of the charge of the Lewis base, in  $e$ , ( $\text{NH}_3$ , up,  $\text{Cl}^-$ , down) vs.  $E^{(2)}_{\text{HB}}$ , in  $\text{kcal}\cdot\text{mol}^{-1}$ , for all HB complexes with no proton transfer.



**Figure S9.** Value of the charge of the Lewis base, in  $e$ , vs.  $E^{(2)}_{\text{XB}}$ , in  $\text{kcal}\cdot\text{mol}^{-1}$ , for all XB complexes.

**Table S1.** SAPT electrostatic, exchange, dispersion, and induction energy contributions ( $E_{\text{el}}$ ,  $E_{\text{ex}}$ ,  $E_{\text{d}}$ , and  $E_{\text{i}}$ , respectively) of HB complexes. Energies in  $\text{kcal}\cdot\text{mol}^{-1}$ .

<b>HB</b>	<b><math>E_{\text{el}}</math></b>	<b><math>E_{\text{ex}}</math></b>	<b><math>E_{\text{d}}</math></b>	<b><math>E_{\text{i}}</math></b>
<b>HFO:NH<sub>3</sub></b>	-19,4	21,4	-4,3	-8,1
<b>HCIO:NH<sub>3</sub></b>	-19,9	22,9	-4,9	-8,6
<b>HBrO:NH<sub>3</sub></b>	-19,3	22,4	-5,0	-8,3
<b>HIO:NH<sub>3</sub></b>	-18,8	22,3	-5,1	-8,0
<b>HCIO<sub>2</sub>:NH<sub>3</sub></b>	-25,1	29,3	-6,6	-10,9
<b>HBrO<sub>2</sub>:NH<sub>3</sub></b>	-25,1	29,4	-6,9	-10,6
<b>HIO<sub>2</sub>:NH<sub>3</sub></b>	-25,7	30,4	-7,4	-10,6
<b>HCIO<sub>3</sub>:NH<sub>3</sub></b>	-29,1	37,1	-7,5	-15,5
<b>HBrO<sub>3</sub>:NH<sub>3</sub></b>	-30,4	38,7	-7,9	-16,3
<b>HIO<sub>3</sub>:NH<sub>3</sub></b>	-29,4	37,0	-7,7	-15,7
<b>HCIO<sub>4</sub>:NH<sub>3</sub></b>	-95,8	176,3	-27,4	-196,6
<b>HBrO<sub>4</sub>:NH<sub>3</sub></b>	-76,2	140,4	-21,8	-151,4
<b>HIO<sub>4</sub>:NH<sub>3</sub></b>	-121,9	50,2	-9,6	-29,0
<b>HFO:Cl<sup>-</sup></b>	-30,9	26,8	-5,5	-14,6
<b>HCIO:Cl<sup>-</sup></b>	-31,2	30,4	-6,5	-17,4
<b>HBrO:Cl<sup>-</sup></b>	-30,5	30,8	-6,7	-17,9
<b>HIO:Cl<sup>-</sup></b>	-30,1	31,6	-7,2	-19,2
<b>HCIO<sub>2</sub>:Cl<sup>-</sup></b>	-40,1	38,4	-7,7	-23,7
<b>HBrO<sub>2</sub>:Cl<sup>-</sup></b>	-39,4	37,5	-7,7	-22,9
<b>HIO<sub>2</sub>:Cl<sup>-</sup></b>	-39,4	36,6	-8,1	-22,7
<b>HCIO<sub>3</sub>:Cl<sup>-</sup></b>	-60,1	92,9	-15,3	-107,9
<b>HBrO<sub>3</sub>:Cl<sup>-</sup></b>	-57,5	88,7	-14,7	-100,7
<b>HIO<sub>3</sub>:Cl<sup>-</sup></b>	-51,8	75,7	-12,7	-73,3
<b>HCIO<sub>4</sub>:Cl<sup>-</sup></b>	-66,6	87,3	-15,4	-135,6
<b>HBrO<sub>4</sub>:Cl<sup>-</sup></b>	-66,3	86,6	-15,3	-138,3
<b>HIO<sub>4</sub>:Cl<sup>-</sup></b>	-66,1	87,6	-15,3	-135,2

**Table S2.** SAPT electrostatic, exchange, dispersion, and induction energy contributions ( $E_{\text{el}}$ ,  $E_{\text{ex}}$ ,  $E_{\text{d}}$ , and  $E_{\text{i}}$ , respectively) of XB complexes. Energies in kcal·mol<sup>-1</sup>.

<b>XB</b>	<b><math>E_{\text{el}}</math></b>	<b><math>E_{\text{ex}}</math></b>	<b><math>E_{\text{d}}</math></b>	<b><math>E_{\text{i}}</math></b>
<b>HCIO:NH<sub>3</sub></b>	-11,9	18,3	-4,2	-4,9
<b>HBrO:NH<sub>3</sub></b>	-22,0	31,8	-5,9	-9,5
<b>HIO:NH<sub>3</sub></b>	-30,4	33,5	-7,2	-8,9
<b>HCIO<sub>2</sub>:NH<sub>3</sub></b>	-8,6	10,3	-3,2	-2,1
<b>HBrO<sub>2</sub>:NH<sub>3</sub></b>	-16,6	21,0	-4,9	-5,5
<b>HIO<sub>2</sub>:NH<sub>3</sub></b>	-32,5	37,3	-7,7	-10,4
<b>HCIO<sub>3</sub>:NH<sub>3</sub></b>	-10,6	12,2	-3,7	-2,5
<b>HBrO<sub>3</sub>:NH<sub>3</sub></b>	-18,9	22,9	-5,3	-6,0
<b>HIO<sub>3</sub>:NH<sub>3</sub></b>	-37,4	42,6	-8,4	-13,0
<b>HCIO<sub>4</sub>:NH<sub>3</sub></b>	-4,2	5,7	-2,8	-0,6
<b>HBrO<sub>4</sub>:NH<sub>3</sub></b>	-16,3	21,0	-5,4	-4,0
<b>HIO<sub>4</sub>:NH<sub>3</sub></b>	-76,4	96,3	-13,6	-34,2
<b>HCIO:Cl<sup>-</sup></b>	-39,7	69,8	-9,9	-34,4
<b>HBrO:Cl<sup>-</sup></b>	-49,3	73,8	-10,3	-37,0
<b>HIO:Cl<sup>-</sup></b>	-57,7	59,0	-10,6	-27,7
<b>HCIO<sub>2</sub>:Cl<sup>-</sup></b>	-38,2	53,2	-8,3	-24,1
<b>HBrO<sub>2</sub>:Cl<sup>-</sup></b>	-51,2	67,1	-9,7	-31,9
<b>HIO<sub>2</sub>:Cl<sup>-</sup></b>	-66,2	65,4	-11,0	-30,4
<b>HCIO<sub>3</sub>:Cl<sup>-</sup></b>	-38,8	46,3	-7,9	-19,7
<b>HBrO<sub>3</sub>:Cl<sup>-</sup></b>	-56,1	68,4	-10,1	-32,0
<b>HIO<sub>3</sub>:Cl<sup>-</sup></b>	-77,3	75,6	-12,0	-35,8
<b>HCIO<sub>4</sub>:Cl<sup>-</sup></b>	-9,4	14,2	-4,4	-4,5
<b>HBrO<sub>4</sub>:Cl<sup>-</sup></b>	-80,8	114,2	-14,9	-56,3
<b>HIO<sub>4</sub>:Cl<sup>-</sup></b>	-110,5	123,5	-16,7	-66,9